

# 泰山顶臭氧及其前体物一氧化碳浓度变化规律

殷永泉<sup>1</sup>, 单文坡<sup>1</sup>, 王韬<sup>2</sup>, 纪霞<sup>1</sup>, 李昌梅<sup>1</sup>, 崔兆杰<sup>1</sup>

(1. 山东大学环境科学与工程学院, 济南 250100; 2. 香港理工大学土木工程系, 香港)

**摘要:** 监测泰山顶 O<sub>3</sub> 及其前体物 CO 的浓度, 分析 O<sub>3</sub> 和 CO 浓度的变化规律及其相关性。结果表明, 泰山顶 O<sub>3</sub> 小时平均浓度超过国家一级标准的频率为 15.81%, CO 小时平均浓度均达标; O<sub>3</sub> 浓度的日变化幅度较小, 说明该地区受周围工业污染影响较小; O<sub>3</sub> 和 CO 浓度的日变化均呈一高一低的双峰型变化规律, 二者具有很好的相关性, O<sub>3</sub> 浓度峰值一般滞后于 CO, 该区域 O<sub>3</sub> 及其前体物 CO 浓度的变化主要受局地光化学过程控制; O<sub>3</sub> 浓度与 CO 浓度的日际变化的相关性也较好。

**关键词:** 臭氧; 前体物; 变化; 泰山

中图分类号: X515 文献标识码: A 文章编号: 0250-3301(2006)01-0009-05

## Ozone and Carbon Monoxide Concentration Distribution on Taishan Mountain

YIN Yong-quan<sup>1</sup>, SHAN Wen-po<sup>1</sup>, WANG Tao<sup>2</sup>, JI Xia<sup>1</sup>, LI Chang-mei<sup>1</sup>, CUI Zhao-jie<sup>1</sup>

(1. School of Environmental Science and Engineering, Shandong University, Jinan 250100, China; 2. Department of Civil and Structural Engineering, The Hong Kong Polytechnic University, Hong Kong, China)

**Abstract:** The concentrations of ozone(O<sub>3</sub>) and carbon monoxide(CO) on the top of Taishan Mountain were monitored, and the variations and correlation were studied. The results show that the frequency of O<sub>3</sub> hourly concentrations more than the first-degree of National Ambient Air Quality Standard(GB-3095-1996, NAAQS) was 15.81%, and the frequency of CO concentrations more than the first-degree of NAAQS was zero. The variation of O<sub>3</sub> concentrations appears in a narrow scope, which indicates that there is scarcely influenced by the pollution of industry around. The diurnal variation of the concentrations of O<sub>3</sub> and that of CO both present two peaks with the peaks of O<sub>3</sub> in the behind of CO, which indicates that the concentration variations of O<sub>3</sub> and its precursor CO are primarily controlled by local photochemical reaction process. The daily concentrations of O<sub>3</sub> correlated well with CO.

**Key words:** ozone; precursor; variation; Taishan Mountain

O<sub>3</sub> 是光化学烟雾的特征污染物之一, 占光化学反应产物的 85% 以上。20 世纪 50 年代美国洛杉矶发生光化学污染事件之后, 对于 O<sub>3</sub> 化学以及与之相关的影响因素在全世界范围内都有广泛的研究, 特别是在美国和欧洲, 取得了很多成果。我国关于 O<sub>3</sub> 与环境污染的研究起步较晚, 但经过多年努力, 也取得了一些成果。在 20 世纪 70 年代中后期, 兰州市西固地区发生光化学烟雾以来, 我国一直在进行这方面的研究和探索。许多研究表明, 空气中 O<sub>3</sub> 浓度受日照、气温、风向、风速等气象条件影响, 与 CO、NO<sub>x</sub>、VOCs 等前体物的浓度密切相关<sup>[1~12]</sup>。

山东省作为东部沿海的发达省份, 在经历了快速经济发展的同时, 也带来了一定程度的环境污染。O<sub>3</sub> 前体污染物的排放量大大增加, 使得大气污染特征逐步由煤烟型污染向光化学污染转化。因此, 开展该地区大气环境中 O<sub>3</sub> 及其前体物质浓度的分析与研究, 对于研究区域大气光化学污染特性、制定污染防治对策和环境质量标准、改善人类居住环境具有十分重要的意义<sup>[4]</sup>。本文对泰山顶 O<sub>3</sub> 浓度及前体污染物 CO 浓度进行了 3 个月的监测, 并分析了 O<sub>3</sub>

和 CO 浓度的变化规律及其相关性。

### 1 材料与方法

大气中 O<sub>3</sub> 和 CO 监测点设在泰山日观峰, 这里是我国建立的第一个高山气象站——泰山气象站, 北纬 36°16', 东经 117°6', 海拔 1 536m。泰山位于山东省中部, 突起于周围丘陵之上, 与地面相对高差达 1 300m, 与周围平原、丘陵形成强烈对比, 泰山顶的大气环境受周围地面污染源的影响较小。监测点周围植被主要是以油松为主的松类, 天然次生林树种有苦栎、松树、鹅耳枥和一些野生灌木。根据泰山气象站观测资料, 2003-07~2003-09 的平均气温分别为 17.2℃、16.4℃ 和 13.1℃, 期间的降水分别为 2 959mm、3 590mm 和 1 959mm。

O<sub>3</sub> 监测仪器采用美国热电子环境仪器公司 (TEI Company) 生产的 TEI-49C O<sub>3</sub> 分析仪; CO 监测仪器为美国环境污染防治仪器公司 (API

收稿日期: 2005-01-14; 修订日期: 2005-03-23

基金项目: 山东省中青年科学家奖励基金项目(02BS116)

作者简介: 殷永泉(1966~), 男, 博士, 副教授, 主要研究方向为环境监测、清洁生产、环境影响评价和环境友好材料。

Company) 生产的 Model 300 CO 分析仪. TEI-49C O<sub>3</sub> 分析仪是根据朗伯-比尔定律, 利用紫外分光光度法进行 O<sub>3</sub> 测量. Model 300 CO 分析仪是根据朗伯-比尔定律, 利用红外分光光度法进行 CO 测量.

TEI-49C O<sub>3</sub> 分析仪的基本参数为: 量程为 0~400mg/m<sup>3</sup>, 最低检测限为 2.0μg/m<sup>3</sup>, 精度为 2.0μg/m<sup>3</sup>, 零漂< 每 24 h 2.0μg/m<sup>3</sup>, 跨漂< 每 30d 1%, 响应时间为 20s, 工作温度为 20℃~30℃.

Model 300 CO 分析仪的基本参数为: 量程为 1×10<sup>6</sup>~2×10<sup>6</sup>μg/m<sup>3</sup>, 最低检测限< 100μg/m<sup>3</sup>, 精度为 0.5%, 零漂为< 每 24h 200μg/m<sup>3</sup>, 跨漂为每 7d 1%, 响应时间为 10s, 工作温度为 5℃~40℃.

表 1 O<sub>3</sub> 和 CO 小时平均浓度分布特征/μg·m<sup>-3</sup>

Table 1 Characterization of ozone and carbon monoxide hourly average concentration/μg·m<sup>-3</sup>

月份	总观测次数		最低值		最高值		平均值	
	O <sub>3</sub>	CO	O <sub>3</sub>	CO	O <sub>3</sub>	CO	O <sub>3</sub>	CO
7	648	624	76.2	146.7	256.4	2 505.6	140.5	937.2
8	744	624	40.4	109.4	219.4	2 168.2	127.1	834.7
9	480		36.2		199.3		121.5	

从表 1 中可以看出, O<sub>3</sub> 小时平均浓度最低值为 36.2μg/m<sup>3</sup>, 出现在 2003-09; 最高值为 256.4 μg/m<sup>3</sup>, 出现在 2003-07. CO 小时平均浓度最低值为 109.4μg/m<sup>3</sup>, 出现在 2003-08; 最高值为 2 505.6 μg/m<sup>3</sup>, 出现在 2003-07. 监测期间, O<sub>3</sub> 和 CO 浓度在各月份的平均值均达到国家一级标准, 主要原因是监测期间的天气条件有利于大气污染物的稀释和扩散, 同时, 由于监测位置距离地面大气污染源较远, 受其影响较小.

## 2.2 O<sub>3</sub> 和 CO 小时平均浓度的频率分布

对 2003-07~2003-09 监测的泰山顶 O<sub>3</sub> 浓度数据计算小时平均浓度, 统计其频率分布情况, 见图 1. 可见, 监测期间 O<sub>3</sub> 小时平均浓度基本呈正态分布, 浓度分布比较集中, 主要分布在 90~160 μg/m<sup>3</sup> 之间. 根据统计结果, O<sub>3</sub> 小时平均浓度小于 160 μg/m<sup>3</sup> 的频率为 84.19%, 而大于 160 μg/m<sup>3</sup> 的频率为 15.81%, 按照《环境空气质量标准》(GB3095-1996) 一级标准, O<sub>3</sub> 小时平均浓度超标频率为 15.81%. 监测点周围的人为污染源较少, O<sub>3</sub> 浓度较高现象主要与监测时间为夏秋季节, 太阳辐射强、温度高、光化学反应较强, 以及由于监测点的海拔较高, 受平流层 O<sub>3</sub> 混合作用的影响较大等因素有关.

对 2003-07~2003-08 监测的泰山顶 CO 浓度数据计算小时平均浓度, 统计其频率分布情况, 见图 2. 可见, CO 小时平均浓度的分布规律明显不同于

所有监测仪器放置在泰山气象站 3 楼, 采样器位于楼顶, 采样口处海拔高度为 1 547 m. O<sub>3</sub> 采样监测时间为 2003-07~2003-09, CO 监测时间为 2003-07~2003-08, 每天连续 24 h 采样监测, 每 min 记录 1 次数据, O<sub>3</sub>、CO 浓度数据分别由仪器自带软件进行数据记录, 用 Microsoft Excel 及 Origin 软件进行数据处理和分析. 文中出现的时间均为北京时间.

## 2 结果与讨论

### 2.1 O<sub>3</sub> 和 CO 小时平均浓度分布特征

监测期间的 O<sub>3</sub> 和 CO 小时平均浓度的分布特征列于表 1.

O<sub>3</sub> 浓度数值比较分散, 监测期间 CO 小时平均浓度主要分布在 2 000 μg/m<sup>3</sup> 以下, 大于 2 000 μg/m<sup>3</sup> 的频率仅为 1.36%, 均达到《环境空气质量标准》(GB3095-1996) 一级标准(即 10 mg/m<sup>3</sup>).

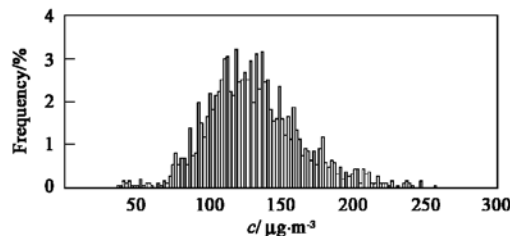


图 1 O<sub>3</sub> 小时平均浓度的频率分布

Fig. 1 Frequency distribution of ozone hourly average concentration

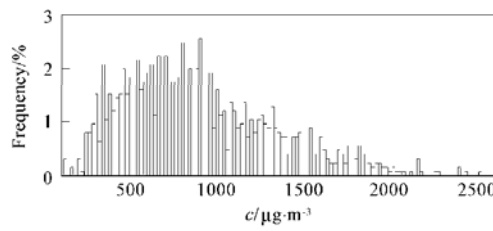


图 2 CO 小时平均浓度的频率分布

Fig. 2 Frequency distribution of carbon monoxide hourly average concentration

### 2.3 各月 O<sub>3</sub> 和 CO 浓度的日变化

2003-07~2003-09 各月  $O_3$  小时平均浓度日变化情况见图 3. 可见, 2003-07~2003-09 各月  $O_3$  小时平均浓度日变化情况基本一致, 一日之内  $O_3$  小时平均浓度随时间的变化较为平缓, 最大值与最小值相差不大. 其中, 2003-07 任何时刻的  $O_3$  浓度都高于其它月份, 且浓度变化幅度比其它月份大, 这主要是由于 7 月份太阳辐射强度和温度较高, 大气光化学反应较强造成的<sup>[5]</sup>, 同时, 由于太阳辐射强度和温度的变化幅度较大, 2003-07 的  $O_3$  浓度变化幅度也较大. 与一些人为污染较重地区的  $O_3$  浓度观测结果相比<sup>[6~8]</sup>, 泰山顶各月  $O_3$  浓度的日变化幅度均较小, 这与临安、龙凤山和瓦里关等本底站的观测资料基本一致<sup>[9]</sup>, 泰山顶  $O_3$  浓度的变化情况符合清洁地区的  $O_3$  浓度变化规律.

2003-07~2003-08 的 CO 小时平均浓度日变化情况见图 4. 可以看出, 2003-07~2003-08 的 CO 小时平均浓度日变化特征基本一致. 与该地区  $O_3$  浓度的变化规律相似, 2003-07 任何时刻的 CO 浓度都略高于 2003-08 的 CO 浓度, 这也是造成 7 月份  $O_3$  浓度较高的一个原因.

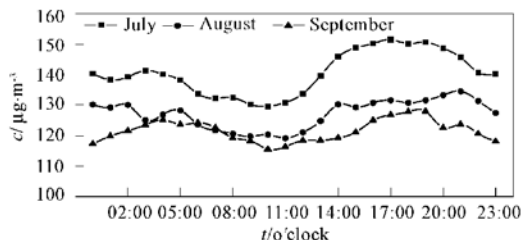


图 3 2003-07~2003-09 的  $O_3$  小时平均浓度日变化曲线

Fig. 3 Diurnal variation of ozone hourly average concentration

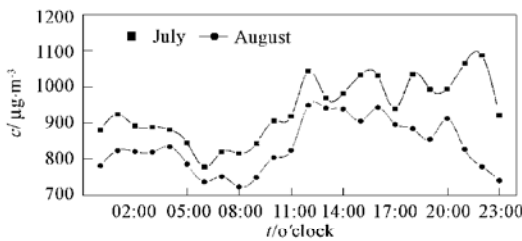


图 4 2003-07~2003-08 的 CO 小时平均浓度日变化曲线

Fig. 4 Diurnal variation of carbon monoxide hourly average concentration

## 2.4 $O_3$ 和 CO 浓度分布的相关性

### 2.4.1 $O_3$ 和 CO 浓度的日变化及其相关性

2003-07~2003-08 监测的  $O_3$  和 CO 浓度数据计算各小时平均浓度的统计结果见图 5.

可见,  $O_3$  小时平均浓度随时间变化比较平缓, 呈一高一低的双峰型变化规律. 夜间的无日照和温度低等条件限制了光化学反应的进行,  $O_3$  浓度从 00: 00 到 05: 00 变化不大, 但保持在较高水平, 这主要受山上松树等植被排放的  $O_3$  前体物 VOCs 和夜间逆温层的影响<sup>[10]</sup>; 凌晨 05: 00 以后  $O_3$  浓度逐渐下降, 10: 00 达到最低值  $122.25\mu\text{g}/\text{m}^3$ , 这主要是因为人类活动逐渐排放大量大气污染物而消耗空气中的  $O_3$ , 同时, 由于太阳辐射较低, 光化学反应很弱,  $O_3$  的产生量较少; 10: 00 以后太阳辐射逐渐增强, 光化学反应逐渐加强,  $O_3$  浓度开始升高, 16: 00~19: 00 达到最高值  $137.21\mu\text{g}/\text{m}^3$ ; 随后, 随着太阳辐射逐渐减弱,  $O_3$  浓度逐渐降低, 直至第 2 天凌晨. 其中,  $O_3$  浓度的最高值与最低值相差  $14.96\mu\text{g}/\text{m}^3$ , 变化幅度较小.

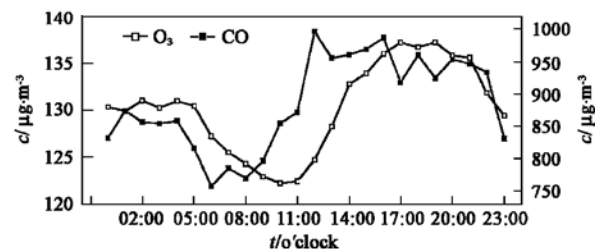


图 5  $O_3$  和 CO 小时平均浓度的日变化

Fig. 5 Diurnal variation of ozone and carbon monoxide hourly average concentration

CO 小时平均浓度也呈一高一低的双峰型变化, 日变化趋势与  $O_3$  基本一致. 06: 00 CO 浓度达到最低值, 为  $757.70\mu\text{g}/\text{m}^3$ , 12: 00 达到最高值, 为  $996.37\mu\text{g}/\text{m}^3$ , 日最高值与最低值相差  $238.67\mu\text{g}/\text{m}^3$ . CO 化学性质活泼, 在大气中的寿命较短, 其浓度分布主要受局地源汇的变化影响. 图 5 基本反映了该地区 CO 在监测期间的源汇特征. CO 小时平均浓度的最高值出现在 12: 00, 可能与附近寺庙烧香和饭店做饭有关. 这也是引起 14: 00 的  $O_3$  浓度有些偏高的原因.

从图 5 可以看出, 泰山顶一日内的  $O_3$  和 CO 浓度具有很好的相关性, 相关系数为 0.725,  $O_3$  浓度随 CO 浓度变化, 在峰值出现时间上,  $O_3$  一般滞后于 CO. 国内一些研究人员通过对龙凤山、沙子口、临安和瓦里关山的地面  $O_3$  及有关前体物的野外观测结果分析, 表明地面  $O_3$  浓度及其变化主要取决于地面有关前体物的光化学反应过程<sup>[11, 12]</sup>. 本文的

监测结果表明,泰山顶  $O_3$  浓度在一天中的变化与 CO 前体物的浓度密切相关,该区域  $O_3$  及其前体物 CO 浓度的变化主要受局地光化学过程控制.

CO 促进  $O_3$  生成的机理可以解释为:



其中, M 是第三体,包括大气中的氮和氧分子,反应(1)氧化 NO 生成  $NO_2$ ,  $NO_2$  再继续通过反应(2)生成  $O_3$ .

#### 2.4.2 $O_3$ 和 CO 浓度的日际变化及其相关性

图 6 为 2003-07~2003-08 的  $O_3$  和 CO 浓度日均值的日际变化情况.

$O_3$  最高日均浓度为  $211.63\mu g/m^3$ ,最低浓度为  $71.24\mu g/m^3$ ; CO 最高日均浓度为  $1810.28\mu g/m^3$ ,最低浓度为  $417.58\mu g/m^3$ .从图 6 可以看出,  $O_3$  和 CO 浓度日际变化曲线具有很好的相关性,相关系数为 0.825,二者的变化规律基本一致,进一步说明了  $O_3$  是二次污染物,泰山顶  $O_3$  浓度与 CO 等前体物的浓度密切相关,随其前体物的浓度变化而变化.

2003-07-29 以前,  $O_3$  和 CO 浓度的相关系数为 0.915.而在 8 月上旬和中旬存在一些偏差,2003-08-01~2003-08-20,  $O_3$  和 CO 浓度的相关系数仅为 0.554.

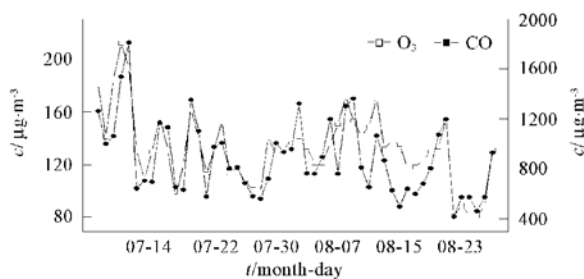


图 6 2003-07~2003-08  $O_3$  和 CO 浓度的日际变化

Fig. 6 Variation of ozone and carbon monoxide daily average concentration from July to August, 2003

#### 2.5 $O_3$ 浓度和气温的分布特征

2003-07~2003-09 的  $O_3$  浓度和日均气温的分布特征见图 7.

监测期间的最低日均气温为  $7.0^\circ C$ ,出现在 2003-08-30;最高日均气温为  $21.5^\circ C$ ,出现在 2003-07-31.由图 7 可见,  $O_3$  浓度和日均气温在有些时段有相似的变化趋势,但总体来看,二者变化的相关性不明显.结合前面  $O_3$  和 CO 浓度相关性分析结果,泰山顶  $O_3$  浓度与 CO 等前体物浓度的相关性更明显.

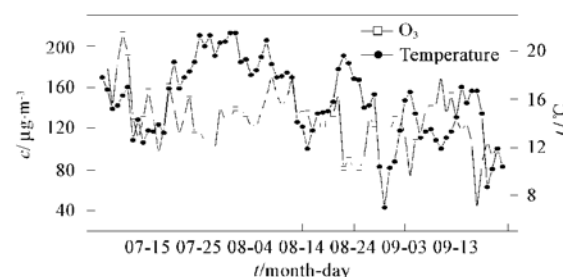


图 7 2003-07~2003-09  $O_3$  和气温的日际变化

Fig. 7 Variation of ozone and temperature daily average concentration from July to September, 2003

### 3 结论

(1) 2003-07~2003-08 的  $O_3$  小时平均浓度最低值为  $36.2\mu g/m^3$ ,最高值为  $256.4\mu g/m^3$ ; CO 小时平均浓度最低值为  $109.4\mu g/m^3$ ,最高值为  $2505.6\mu g/m^3$ .

(2)  $O_3$  小时平均浓度基本呈正态分布,超过《环境空气质量标准》(GB3095-1996)一级标准的频率为 15.81%,浓度较高主要与监测期间太阳辐射强、温度高及监测点的海拔较高等因素有关;监测期间的 CO 小时平均浓度均能达到一级标准.

(3) 各月  $O_3$  小时平均浓度日变化情况基本一致,7月份  $O_3$  浓度较高且一天内的变化幅度较大,主要是由于 7 月份太阳辐射强、温度高,大气中的光化学反应剧烈造成的.各月  $O_3$  浓度的日变化幅度均较小,符合清洁地区的  $O_3$  浓度变化规律.

(4)  $O_3$  和 CO 浓度的日变化均呈一高一低的双峰型规律,二者具有很好的相关性,  $O_3$  的变化一般滞后于 CO,说明泰山顶  $O_3$  与 CO 前体物密切相关,该区域  $O_3$  及其前体物 CO 的变化主要受局地光化学过程控制.  $O_3$  和 CO 浓度日际变化曲线也具有很好的相关性,进一步说明  $O_3$  是二次污染物.

(5)  $O_3$  浓度和日均气温在有些时段具有相似的变化趋势,但总体来看,二者变化的相关性不明显.

#### 参考文献:

- [1] Vincent T F Cheung, Wang T. Observational study of ozone pollution at a rural site in the Yangtze Delta of China [J]. Atmospheric Environment, 2001, 35 (29): 4947~4958.
- [2] Wang T, Vincent T F Cheung, Lam K S, et al. The characteristic of ozone and related compounds in the boundary layer of the South China coast: temporal and vertical variations during Autumn season [J]. Atmospheric Environment, 2001, 35 (15): 2735~2746.
- [3] Roxanne V, Bill T. Trend analysis of ground level ozone in the

- greater Vancouver/ Fraser Valley area of British Columbia[ J]. Atmospheric Environment, 2003, 37(16): 2159~ 2171.
- [ 4 ] Roxanne, Vingarzan. A review of surface ozone background levels and trends[ J]. Atmospheric Environment, 2003, 38(21): 3431~ 3442.
- [ 5 ] Fred M, Vukovich. Time scales of surface ozone variations in the regional, nonurban environment [ J]. Atmospheric Environment, 1997, 31(10): 1513~ 1530.
- [ 6 ] 林伟立, 胡建信, 唐孝炎. 臭氧层耗损对对流层大气质量的影响和在中国的响应[ J]. 环境科学研究, 2002, 15(3): 61~ 64.
- [ 7 ] Hiroaki M. Some characteristics of surface ozone concentration observed in an urban atmosphere[ J]. Atmospheric Research, 1999, 51(2): 153~ 169.
- [ 8 ] MacKenzie A R, Harrison R M, Colbeck I, et al. The ozone increments in urban plumes[ J]. The Science of the Total Environment, 1995, 159: 91~ 99.
- [ 9 ] 丁国安, 徐晓斌, 罗超, 等. 中国大气本底条件下不同地区地面臭氧特征[ J]. 气象学报, 2001, 59(1): 88~ 96.
- [ 10 ] 白建辉, 徐永福, 陈辉, 等. 鼎湖山森林地区臭氧及其前体物的变化特征和分析[ J]. 气候与环境, 2003, 8(3): 370~ 380.
- [ 11 ] 周秀骥. 中国地区大气臭氧变化及其对气候环境的影响(一) [ M ]. 北京: 气象出版社, 1996. 1~ 66.
- [ 12 ] 周秀骥. 中国地区大气臭氧变化及其对气候环境的影响(二) [ M ]. 北京: 气象出版社, 1997. 1~ 16.

## 《环境科学》征稿简则

1. 来稿报道成果要有创新性, 论点明确, 文字精炼, 数据可靠. 全文不超过 8000 字(含图、表、中英文摘要及参考文献). 国家自然科学基金项目、国家科技攻关项目、国际合作项目或其它项目请在来稿中注明(在首页以脚注表示). 来稿可用 A4 纸激光打印(一式 3 份), 寄至本刊编辑部; 或网上投稿. 稿件往来一般通过本刊编辑部, 请不要寄给个人, 以免耽搁或丢失.

2. 稿件请按 GB 7713-87《科学技术报告、学位论文和学术论文的编写格式》中学术论文的规范撰写. 论文各部分的排列顺序为: 题目; 作者姓名; 作者工作单位、地址、邮政编码; 中文摘要; 关键词; 中图分类号; 英文题目; 作者姓名及单位的英译名; 英文摘要; 关键词; 正文; 致谢; 参考文献.

3. 论文题目应简练并准确反映论文内容, 一般不超过 20 字, 少用副标题.

4. 中文摘要不少于 300 字, 以第三人称写. 摘要内容包括研究工作的目的、方法、结果(包括主要数据)和结论, 重点是结果和结论. 英文摘要与中文对应, 注意人称、时态和语言习惯, 以便准确表达内容.

5. 前言包括国内外前人相关工作(引文即可)和本工作的目的、特点和意义等. 科普知识不必赘述.

6. 文中图表应力求精简, 同一内容不得用图表重复表达, 要有中英文对照题目. 图应大小一致, 曲线粗于图框, 图中所有字母、文字字号大小要统一. 表用三线表. 图表中术语、符号、单位等应与正文一致.

7. 计量单位使用《中华人民共和国法定计量单位》(SI). 论文中物理计量单位用字母符号表示, 如 mg(毫克), m(米), h(小时)等. 科技名词术语用国内通用写法, 作者译的新名词术语, 文中第一次出现时需注明原文.

8. 文中各级标题采用 1, 1.1, 1.1.1 的形式, 左起顶格书写, 3 级以下标题可用(1), (2)……表示, 后缩 2 格书写.

9. 文中外文字母、符号应标明其大小写, 正斜体. 生物的拉丁学名为斜体. 缩略语首次出现时应给出中文全称, 括号内给出英文全称和缩略语.

10. 未公开发表资料不列入参考文献, 可在出现页以脚注表示. 文献按文中出现的先后次序编排. 常见文献书写格式为:

**期刊:** 作者(外文也要姓列名前). 论文名[J]. 期刊名, 年, 卷(期): 起页~ 止页.

**图书:** 作者. 书名版次(第一版不标注)[M]. 出版地: 出版社, 年. 起页~ 止页.

**会议文集:** 作者. 论文名[A]. 见( In ): 编者. 文集名[C]. 出版地: 出版社(单位), 年. 起页~ 止页.

**学位论文:** 作者. 论文名[D]. 保存地: 保存单位, 年份.

**报告:** 作者. 论文名[R]. 出版地. 出版单位, 出版年.

**专利:** 专利所有者. 专利题名[P]. 专利国别: 专利号, 出版日期.

11. 来稿文责自负, 切勿一稿多投. 编辑对来稿可作文字上和编辑技术上的修改和删节. 在 3 个月内未收到本刊选用通知, 可来电询问. 对未刊稿件一般不退, 请作者自留底稿.

12. 投稿请附作者单位详细地址, 邮编, 电话号码, 电子邮箱等. 编辑部邮政地址: 北京市 2871 信箱; 邮编: 100085; 电话: 010-62941102, 010-62849343; 传真: 010-62849343; E-mail: hjkx@rcees.ac.cn